

## โครงการวิจัยย่อยลำดับที่ 10

### เรื่อง การประเมินช่องสัญญาณที่มีแหล่งจ่ายรวมในช่องการสื่อสารที่เกิดการเฟดดิ้ง ปีที่ 4

#### 1. ผู้รับผิดชอบโครงการ รศ.ดร. ประสิทธิ์ ทิมพุดิ

#### 2. วัตถุประสงค์

- เพื่อออกแบบวิจัยและพัฒนาเครื่องรับชนิดเทอร์โบชนิดใหม่ซึ่งสามารถกำจัดผลการรบกวนของ MAI และสามารถถอดรหัสของผู้ใช้แต่ละรายได้ในตัวเดียวกันเพื่อใช้ในระบบ CDMA
- เพื่อวิจัยค้นหาแนวทางใหม่ๆ ในการกำจัดผลการรบกวนของผู้ใช้รายอื่นที่รบกวนต่อผู้ใช้ที่สนใจ (multiple access elimination) และทำการออกแบบเครื่องรับชนิดใหม่ที่สามารถทำงานร่วมกับรหัสเทอร์โบ
- เพื่อศึกษาและวิจัยระหว่างความซับซ้อนและประสิทธิภาพของเครื่องรับที่นำเสนอเปรียบเทียบกับเครื่องรับที่ถูกนำเสนอโดยนักวิจัยต่างประเทศมาก่อนหน้านี้ เพื่อศึกษาความเป็นไปได้ที่จะนำมาใช้จริง
- พัฒนาและปรับปรุงอัลกอริทึมในการเข้ารหัสและถอดรหัสสำหรับในเครื่องรับและส่ง
- เผยแพร่ผลงานการวิจัยในรูปของสื่อสิ่งพิมพ์และระบบอินเทอร์เน็ต แก่ผู้สนใจทั้งในประเทศและต่างประเทศ

#### 3. ขอบเขตหรือเป้าหมายของโครงการ

- ทำการวิจัยและศึกษาบทความทางวิชาการที่เกี่ยวข้องกับอัลกอริทึมในระบบ CDMA
- พัฒนาและปรับปรุงอัลกอริทึมที่ใช้กับระบบ Multiuser Detection ในระบบ CDMA โทรศัพท์เคลื่อนที่ในยุคที่ 3 และ 4 ให้มีประสิทธิภาพสูงขึ้น
- ศึกษาและทำการทดลองโดยใช้การเข้ารหัสแหล่งกำเนิดที่มีคุณสมบัติการแพร่กระจายของข้อผิดพลาด
- ค้นหาแนวทางใหม่ๆ ในการกำจัดผลการรบกวนของผู้ใช้รายอื่นที่รบกวนต่อผู้ใช้ที่สนใจ
- จัดทำบทความทางวิชาการ เพื่อเผยแพร่ความรู้และผลงานที่ได้จากการทำวิจัยทั้งในระดับชาติ และ ระดับนานาชาติ

#### 4. ส่วนงานที่ได้ดำเนินการไปแล้ว

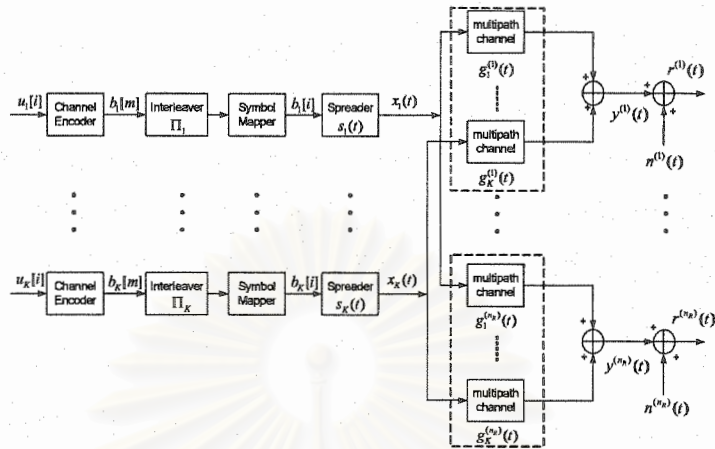
- พัฒนาและปรับปรุงโครงสร้างของเครื่องรับที่สถานีฐานแบบคิเทกต์ผู้ใช้หลายคนในระบบ DS-SS-CDMA
- พัฒนาและปรับปรุงอัลกอริทึมโดยใช้รหัส Turbo code ในระบบที่มีการประมาณ หาค่าช่อง สัญญาณ
- พัฒนาการ Turbo Multiuser detection ในระบบ CDMA เพื่อนำมาใช้ใน โทรศัพท์เคลื่อนที่ในยุคที่ 3 และ 4
- ทำการพัฒนาและศึกษา EM-algorithm (Expectation Maximization Algorithm) เพื่อนำมาใช้ในการประมาณค่าช่องสัญญาณของระบบ CDMA
- ทดลองเพิ่มตำแหน่งที่เป็นไปได้ของสัญลักษณ์ต้องห้ามเพื่อวัดประสิทธิภาพในการทำงานของตัวเข้ารหัสและถอดรหัสและศึกษาผลกระทบที่เกิดจากวิธีการเข้ารหัสช่องสัญญาณรวมกับการเข้ารหัสแหล่งกำเนิด

- ปรับปรุงโปรแกรมให้สามารถรองรับความมาสามารถในการเพิ่มตำแหน่งของสัญลักษณ์ต้องห้าม
- ทำการทดลองเพื่อตรวจสอบว่าถ้าผ่านช่องสื่อสารที่มีสัญญาณรบกวนที่ก่อให้เกิดความผิดพลาดในปริมาณไม่มากนักจะสามารถทำการแก้ไขข้อผิดพลาดนั้น โดยใช้วิธีการเปลี่ยนสัญลักษณ์เป็นบางส่วนๆได้หรือไม่
- ทำการทดลองวัดความถูกต้องในการเปลี่ยนสัญลักษณ์เป็นบางส่วนๆ ว่ามีความถูกต้องเป็นปริมาณเท่าไรเมื่อเปรียบเทียบกับปริมาณของข้อผิดพลาดทั้งหมดที่เกิดขึ้นเนื่องจากสัญญาณรบกวนในช่องสัญญาณ
- ปรับปรุงและแก้ไขโปรแกรมเพื่อทำการทดสอบความถูกต้องในการเปลี่ยนสัญลักษณ์เป็นบางส่วนๆ
- วัดประสิทธิภาพวัดประสิทธิภาพในการเข้ารหัสลับของตัวเข้ารหัสและตัวถอดรหัสและศึกษาหาผลกระทบที่เกิดจากวิธีการทดลองเพิ่มตำแหน่งที่เป็นไปได้ของสัญลักษณ์ต้องห้าม

#### 5. ส่วนงานที่จะดำเนินการต่อไป

- พัฒนาโครงสร้างของเครื่องรับที่สถานีฐานในระบบ Ds-CDMA ให้สามารถดีเทกต์ผู้ใช้หลายคนพร้อมๆกันได้ในช่องสัญญาณขยายเชื่อมโยงขาขึ้น
- พัฒนาซอฟต์แวร์ที่จำลองการทำงานของเครื่องรับแบบวนซ้ำโดยอาศัยตัวประมาณช่องสัญญาณ
- ทำการศึกษา EM algorithm เพื่อนำมาใช้ในระบบ ดีเทกต์ผู้ใช้หลายคนพร้อมๆกันและพัฒนาต่อไปในระบบที่สัญญาณ fading เป็นแบบ frequency selective และ time varying fading
- ทดลองสร้างรหัสที่สามารถตรวจจับความผิดพลาดได้ถูกต้องมากเท่าที่ต้องการได้โดยการเข้ารหัสเชิงเลขคณิตที่มีความสามารถในการตรวจจับความผิดพลาดซ้ำ
- พัฒนาซอฟต์แวร์ที่ทำการเข้ารหัสและถอดรหัสเชิงเลขคณิตที่มีความสามารถในการตรวจจับความผิดพลาดที่ผ่านการเข้ารหัสซ้ำได้

ภาคผนวก ก



รูป 1. แสดงระบบ MIMO ของระบบ CDMA ขาขึ้น

พิจารณาระบบขาขึ้นของ asynchronous CDMA โดยกำหนดให้มีผู้ใช้  $K$  รายและมีจำนวนเสารับจำนวน  $n_R$  เสารับ โคนสมมุติให้ที่สถานีฐานทราบเพียง spreading sequence ของแต่ละรายภายในเซลล์  $K_{in}$  ( $K_{in} \leq K$ ) โดยที่ spreading sequence ของผู้ใช้ภายนอกเซลล์รายที่  $(K - K_{in})$  ไม่ทราบจากสถานีฐานจากรูปที่ 1 จะเห็นได้ว่าสัญญาณที่ถูกส่งออกมาจากเครื่องส่งแต่ละราย (mobile to base station) มีลักษณะเป็น  $x_k(t) = A_k \sum_{i=0}^{M-1} b_k[i] s_k(t - iT - d_k)$  โดยที่ค่า  $d_k$  ( $0 \leq t < T$ ) เป็นค่าหน่วงเวลาจากผู้ใช้แต่ละรายและค่าของสัญญาณ  $s_k(t)$  สามารถเขียนได้เป็น  $s_k(t) = \sum_{j=0}^{N-1} c_k[j] \psi(t - jT_c)$  ในช่วงเวลา  $0 \leq t \leq T$  และ  $T_c = T/N$ . โดยที่ค่าสัญญาณของสัญญาณ  $\psi(t)$  ถูกนอร์มอลไลซ์โดย  $\int_0^{T_c} \psi(t)^2 dt = 1$  ในช่วงของ  $\{c_k[j]\}_{j=0}^{N-1}$  เมื่อกำหนดให้สัญญาณ multi-path fading ในผู้ใช้แต่ละรายที่เสารับลำดับที่  $b = 1, 2, \dots, n_R$  มีค่าเป็น  $g_k^{(b)}(t) = \sum_{l=1}^L \alpha_{kl}^{(b)} \delta(t - \tau_{kl}^{(b)})$  โดยที่ค่า  $\alpha_{kl}^{(b)}$  และ  $\tau_{kl}^{(b)}$  อัตราขยายของช่องสัญญาณและค่าประวิงเวลาซึ่งคู่กับอัตราขยาย โดยที่  $\tau_{k1}^{(b)} < \tau_{k2}^{(b)} < \dots < \tau_{kL}^{(b)}$  ในเสารับสัญญาณที่  $b$

$$\begin{aligned}
 r^{(b)}(t) &= \sum_{k=1}^K \sum_{i=0}^{M-1} b_k[i] h_k^{(b)}(t - iT) + n^{(b)}(t) \\
 &= \underbrace{\sum_{i=0}^{M-1} b_k[i] h_k^{(b)}(t - iT)}_{y_k^{(b)}(t)} + \underbrace{\sum_{\substack{k'=1 \\ k' \neq k}}^{K_{in}-1} \sum_{i=0}^{M-1} b_{k'}[i] h_{k'}^{(b)}(t - iT)}_{\text{intracell Interference}} \\
 &\quad + \underbrace{\sum_{k'=K_{in}+1}^K \sum_{i=0}^{M-1} b_{k'}[i] h_{k'}^{(b)}(t - iT)}_{\text{intercell Interference}} + n^{(b)}(t)
 \end{aligned}$$

$$r^{(b)}(t) = y_k^{(b)}(t) + \underbrace{\sum_{\substack{k'=1 \\ k' \neq k}}^{K_m-1} y_{k'}^{(b)}(t) + \sum_{k'=K_m+1}^K y_{k'}^{(b)}(t) + n^{(b)}(t)}_{y^{(b)}(t)} \quad (1)$$

เมื่อกำหนดให้  $l_k^{(b)} = (d_k + d_c^{(b)} + T_c) / T$  เป็นค่าประวิงเวลาสูงสุดในแต่ละสัญลักษณ์ข้อมูลที่ส่ง ดังนั้นเมื่อทำการสุ่มเก็บข้อมูลทุกๆเวลา  $t = iT + nT_c$  ในแต่ละเสารับสัญญาณดังนั้นสัญญาณที่ได้รับจะสามารถจัดรูปได้เป็น

$$y_k^{(b)}[i, n] = y_k^{(b)}(iT + nT_c) = \sum_{j=0}^{M-1} b_k[i] \underbrace{h_k^{(b)}(iT + nT_c - jT)}_{h_k^{(b)}[i-j, n]}$$

$$y_k^{(b)}[i, n] = \sum_{j=i-l_k^{(b)}}^i b_k[i] h_k^{(b)}[i-j, n] = \sum_{j=0}^{l_k^{(b)}} h_k^{(b)}[j, n] b_k[i-j] \quad (2)$$

ทำการแทนสมการที่ 2 ลงในสมการที่ 1

$$r^{(b)}[i, n] = h_k^{(b)}[0, n] b_k[i] + \underbrace{\sum_{j=1}^{l_k^{(b)}} h_k^{(b)}[j, n] b_k[i-j]}_{ISI} + \sum_{k' \neq k} y_{k'}^{(b)}[i, n] + n^{(b)}[i, n] \quad (3)$$

กำหนดให้ค่าประวิงเวลาสูงสุดของผู้ใช้ K ใน ทุกเสารับของสถานีฐานเป็น  $l^{(b)} = \max_{1 \leq k \leq K} \{l_k^{(b)}\}$  และ

$l = \max_{1 \leq n \leq N} \{l^{(b)}\}$  ดังนั้นเราจะพบว่า

$$\underbrace{r^{(b)}[i]}_{N \times 1} = [r^{(b)}[i, 0] \dots r^{(b)}[i, N-1]]^T \quad \underbrace{b_{in}[i]}_{K_m \times 1} = [b[i] \dots b_{K_m}[i]]^T$$

$$\underbrace{n^{(b)}[i]}_{N \times 1} = [n^{(b)}[i, 0] \dots n^{(b)}[i, N-1]]^T \quad \underbrace{b_{out}[i]}_{(K-K_m) \times 1} = [b_{K_m+1}[i] \dots b_K[i]]^T$$

$$\underline{H}_{in}^{(b)}[j] = \begin{bmatrix} h_1^{(b)}[j, 0] & \dots & h_{K_m}^{(b)}[j, 0] \\ \vdots & \vdots & \vdots \\ h_1^{(b)}[j, N-1] & \dots & h_{K_m}^{(b)}[j, N-1] \end{bmatrix}$$

$$\underline{H}_{out}^{(b)}[j] = \begin{bmatrix} h_{K_m+1}^{(b)}[j, 0] & \dots & h_K^{(b)}[j, 0] \\ \vdots & \vdots & \vdots \\ h_{K_m+1}^{(b)}[j, N-1] & \dots & h_K^{(b)}[j, N-1] \end{bmatrix}$$

For  $j = 0, 1, \dots, l$ .

จากสมการที่ 3 เราจะได้ว่า

$$r^{(b)}[i] = \underline{H}_{in}^{(b)}[j] * \underline{b}_{in}[i] + \underline{H}_{out}^{(b)}[j] * \underline{b}_{out}[i] + \underline{n}^{(b)}[i]. \quad (4)$$

ทำการรวมสัญญาณในแต่ละเสารับและเสาส่งจะได้ว่า

หรือเราสามารถเขียน 4 ในรูปของ



$$r[i] = \sum_{k=1}^{K_{in}} \underbrace{(b_k[i]C_k^{(0)} + b_k[i-1]C_k^{(1)} + \dots + b_k[i-l]C_k^{(l)})}_{s_k[i]} g_k[i] + v_{OMAI}[i] + n[i] \quad (5)$$

$$= \sum_{k=1}^{K_{in}} s_k[i] g_k[i] + v_{OMAI}[i] + n[i]$$

$$r_k[i] = s_k[i] g_k[i] + n[i] \text{ for } k = 1, \dots, K_{in} \text{ and } r_{K_{in}+1}[i] = v_{OMAI}[i] + n[i]$$

โดยการประมาณให้การเกิด fading มีลักษณะเป็น Markov process เราจะได้

$$g_k[i] = \psi_k[i] g_k[i-1] + w_k[i] \quad k = 1, \dots, K_{in}$$

$$v_{OMAI}[i] = \psi_{K_{in}+1}[i] v_{OMAI}[i-1] + w_{K_{in}+1}[i]$$

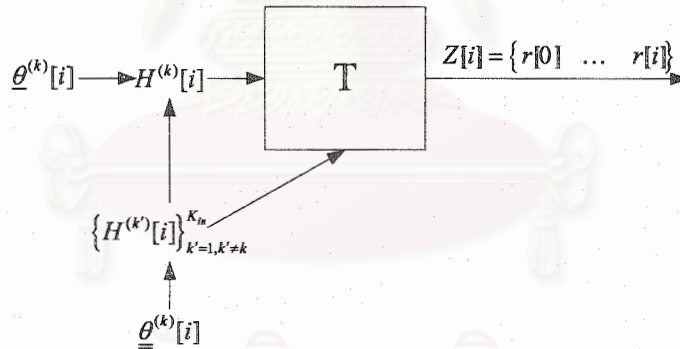
ดังนั้น

$$r_k[i] = A_k[i] x_k[i] + n[i]$$

$$x_k[i] = \psi_k[i] x_k[i-1] + w_k[i]$$

$$r_k[i] = r[i] - \sum_{k'=1, k' \neq k}^{K_{in}} A_{k'}[i] x_{k'}[i]$$

$$Z[i] = \{r[0] \dots r[i]\}$$



โดยการอาศัย Em algorithm เราจะได้

For  $k = 1, \dots, K_{in}$

E-Step

$$Q^{(k)}(\underline{\theta}^{(k)}[i] | \tilde{\theta}^{(k)}[i]) = E \{ \log f(H^{(k)}[i] | \underline{\theta}^{(k)}[i], Z[i], \tilde{\theta}^{(k)}[i]) \}$$

$$Q^{(k)}(\underline{\theta}^{(k)}[i] | \tilde{\theta}^{(k)}[i]) = C - \log \|R_k[i]\| - \frac{1}{2} \text{tr} \left[ R_k^{-1}[i] (x_k[i|i] - \psi_k[i] x_k[i-1|i]) (x_k[i|i] - \psi_k[i] x_k[i-1|i])^H \right]$$

$$- \log \|\Sigma_k[i]\| - \frac{1}{2} \text{tr} \left[ \Sigma_k^{-1}[i] (r_k[i] - A_k[i] x_k[i|i]) (r_k[i] - A_k[i] x_k[i|i])^H \right]$$

Where

$$x_k[i|i] = \langle x_k[i] \rangle = E \{ x_k[i] | Z[i], \tilde{\theta}^{(k)}[i] \}$$

$$x_k[i-1|i] = \langle x_k[i-1] \rangle = E \{ x_k[i-1] | Z[i], \tilde{\theta}^{(k)}[i] \}$$

CM-step

Matrix lemma  $\frac{\partial}{\partial X^*} \text{tr}(AX^H) = \frac{\partial}{\partial X^*} \text{tr}(X^H A) = A$   $\frac{\partial}{\partial X} \log \|X\| = (X^{-1})^T = (X^T)^{-1}$

$$\frac{\partial}{\partial X} \text{tr}(X^{-1}A) = -(X^{-1}AX^{-1})^T$$

CM1-Step

Replacing  $\psi_k[i] = \tilde{\psi}_k[i-1]$   $R_k[i] = \tilde{R}_k[i-1]$   $\Sigma_k[i] = \tilde{\Sigma}_{k-1}[i]$

$$\tilde{\psi}_k[i] = \langle x_k[i]x_k[i-1]^H \rangle \langle x_k[i-1]x_k[i-1]^H \rangle^{-1} = M_{12}M_2^{-1}$$

$$\tilde{\psi}_k[i] = (x_k[i|i]x_k[i-1|i]^H + P_k[i, i-1|i]) (x_k[i-1|i]x_k[i-1|i]^H + P_k[i-1|i])^{-1}$$

CM2-Step

Replacing  $\psi_k[i] = \tilde{\psi}_k[i]$   $R_k[i] = \tilde{R}_k[i-1]$   $\Sigma_k[i] = \tilde{\Sigma}_{k-1}[i]$

$$R_k[i] = \frac{1}{2} \langle (x_k[i] - \psi_k[i]x_k[i-1]) \rangle \langle (x_k[i] - \psi_k[i]x_k[i-1])^H \rangle$$

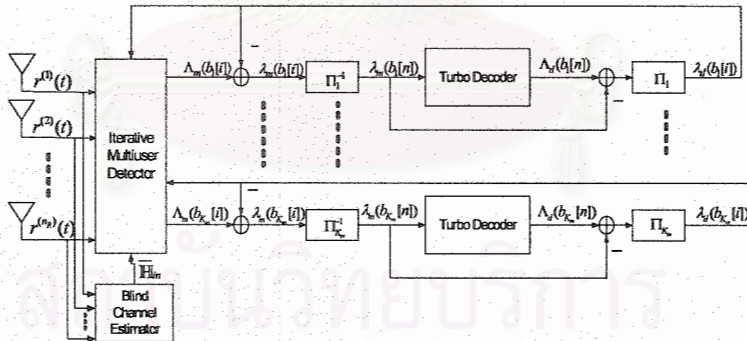
$$= \frac{1}{2} (M_1 - \tilde{\psi}_k[i]M_{12}^H)$$

CM3-Step

Replacing  $\psi_k[i] = \tilde{\psi}_k[i]$   $R_k[i] = \tilde{R}_k[i]$   $\Sigma_k[i] = \tilde{\Sigma}_{k-1}[i]$

$$\Sigma_k[i] = \frac{1}{2} \langle (r_k[i] - A_k[i]x_k[i]) \rangle \langle (r_k[i] - A_k[i]x_k[i])^H \rangle$$

ในส่วนนี้จะแสดงผลการทดลองและเครื่องรับที่นำเสนอ โดยอาศัยตัวประมาณช่องสัญญาณ โดยใช้ EM มาใช้ในภาครับ



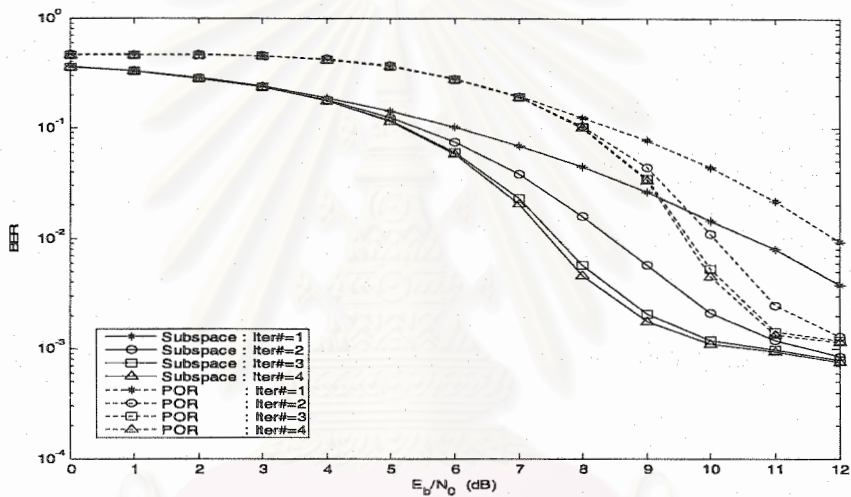
รูป 3. รูปแบบของเครื่องรับในระบบ CDMA ที่นำเสนอ

จากรูป 3 “Iterative multiuser detector” จะทำการสร้างสัญญาณ  $\Lambda_m(b_k[i]) = \lambda_m(b_k[i]) + \lambda_n(b_k[i])$  a posteriori likelihood ratio แลกเปลี่ยนกับตัวถอดรหัสช่องสัญญาณ Turbo decoder ในลักษณะที่เป็นรอบๆ (iteration) โดยถ้ากำหนดว่าสัญญาณที่ออกจาก “iterative multiuser detector” ผ่านตัวกรอง filter มามีลักษณะสัญญาณเป็น

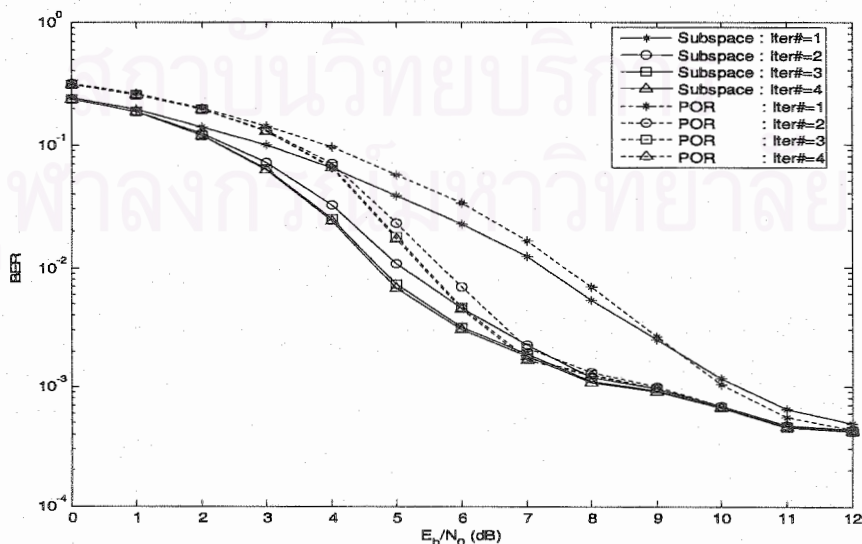
$$z_k[i] = \tilde{b}_k[i] + w_k^H \left[ r[i] - \overline{H}_{in}^{(k)} \underline{A}^{(k)} \tilde{b}_{in}^{(k)}[i] \right] = \mu_k b_k[i] + v_k[i] \quad (12)$$

โดยที่อัตราส่วน likelihood ratio มีค่าเป็น

$$\begin{aligned} \lambda_m(b_k[i]) &= \log \frac{P(z_k[i] | b_k[i] = +1)}{P(z_k[i] | b_k[i] = -1)} \\ &= \frac{-|z_k[i] - \mu_k|^2}{2\sigma^2} + \frac{|z_k[i] + \mu_k|^2}{2\sigma^2} \\ &= \Re \left( \frac{2\mu_k z_k[i]}{\sigma^2} \right) \end{aligned} \quad (13)$$



รูป 4. สมรรถนะของ maximum BER user ในเครื่องรับในระบบ CDMA ที่นำเสนอ



รูป 5. สมรรถนะของ minimum BER user ในเครื่องรับในระบบ CDMA ที่นำเสนอ

## เอกสารอ้างอิง

- [1] X. Wang and A. Host-Madsen, "Group-blind multiuser detection for uplink CDMA," *IEEE J.Select. Areas Commun.*, vol. 17, pp. 1971 – 1984, Nov. 1999
- [2] H. Liu and G. Xu, "A subspace method for signature waveform estimation in synchronous CDMA systems," *IEEE Trans. Commun.*, vol. 44, pp. 1346–54, Oct. 1996.
- [3] Z. Xu, "Asymptotic performance of subspace methods for synchronous multirate CDMA systems," *IEEE Trans. on Signal Processing*, vol. 50, no. 8, pp. 2015-2026, August 2002.
- [4] Z. Xu, "On the second-order statistics of the weighted sample covariance matrix," *IEEE Trans. on Signal Processing*, vol. 51, no. 2, pp. 527-534, February 2003.



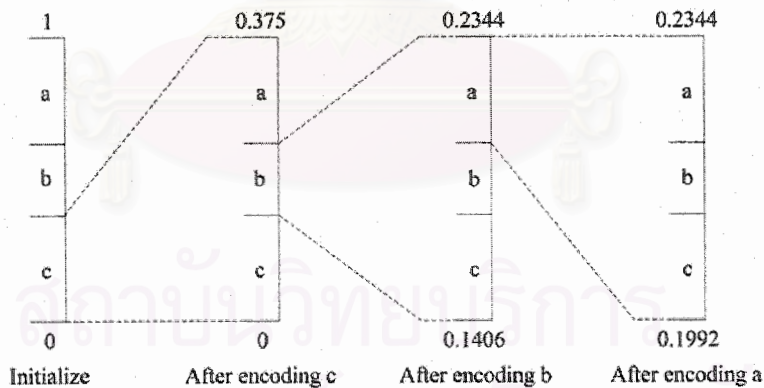
สถาบันวิทยบริการ  
จุฬาลงกรณ์มหาวิทยาลัย



ภาคผนวก ข

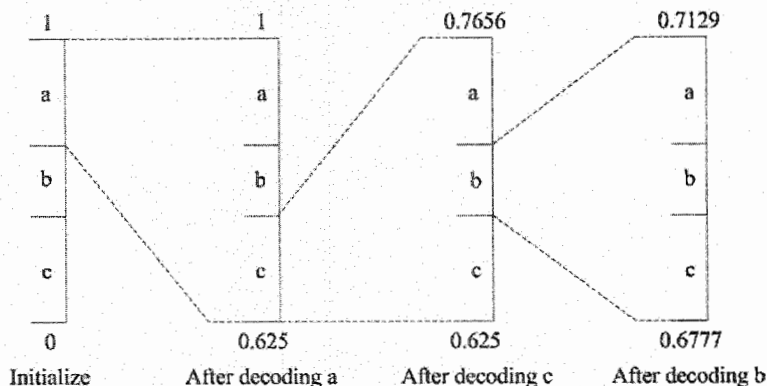
การเข้ารหัสเชิงเลขคณิตที่มีความสามารถในการตรวจจับความผิดพลาดนั้นสามารถทำได้โดยการเพิ่มสัญลักษณ์ต้องห้ามลงไปในการเข้ารหัสเชิงเลขคณิต โดยจะต้องมีการกำหนดตำแหน่งของสัญลักษณ์ต้องห้ามไว้ล่วงหน้าเนื่องจากการเข้ารหัสและถอดรหัสจำเป็นต้องสามารถสร้างตารางความน่าจะเป็นที่ใช้ในการเข้ารหัสและถอดรหัสที่ตรงกันทั้งด้านตัวเข้ารหัสและตัวถอดรหัส เนื่องจากหากไม่สามารถที่จะสร้างตารางความน่าจะเป็นที่ตรงกันได้ข้อมูลที่ถอดรหัสออกมาจากรหัสที่รับมานั้นจะเป็นข้อมูลที่ไม่ถูกต้อง โดยข้อมูลที่ถอดออกมานั้นจะเกิดความผิดพลาดแบบต่อเนื่องเนื่องจากการเข้ารหัสเชิงเลขคณิตมีคุณสมบัติการแพร่กระจายของความผิดพลาด (Error Propagation) คือหากเกิดความผิดพลาดขึ้นครั้งหนึ่งจากการถอดรหัสเนื่องรหัสที่ได้รับ ไม่ถูกต้องหรือตารางที่ใช้ในการถอดรหัสไม่ตรงกันจะทำให้การถอดรหัสข้อมูลหลังจากจุดที่เกิดความผิดพลาดขึ้นจะเกิดความผิดพลาดตามไปด้วย

คุณสมบัติการแพร่กระจายของความผิดพลาดของการเข้ารหัสเชิงเลขคณิต สามารถอธิบายได้ด้วยตัวอย่างง่ายๆ ดังนี้ สมมติให้มีการเข้ารหัสข้อมูล  $cba$  โดยสัญลักษณ์  $c$  มีค่าอยู่ในช่วง  $[0, 0.375)$  สัญลักษณ์  $b$  มีค่าอยู่ในช่วง  $[0.375, 0.625)$  และสัญลักษณ์  $a$  มีค่าอยู่ในช่วง  $[0.625, 1)$  โดยหลังจากการเข้ารหัสดังในรูปที่ 1 แล้วเราจะได้ว่า รหัส  $cba$  สามารถแทนได้โดยใช้ค่าในช่วง  $[0.1992, 0.2344)$  ในที่นี้ใช้ 001101 ซึ่งมีค่าเท่ากับ 0.203125



รูปที่ 1 การเข้ารหัสเชิงเลขคณิตของ  $cba$

หลังจากที่ทำการส่งข้อมูลผ่านการเข้ารหัสเรียบร้อยแล้วหากรหัสที่ตัวถอดรหัสได้รับไม่ถูกต้อง เช่นแทนที่จะได้รับรหัส 001101 กลับได้รับรหัส 101101 แทนทำให้การถอดรหัสแทนที่จะได้ข้อมูลที่ถูกต้องคือ  $cba$  กลับได้ข้อมูล  $acb$  แทน โดยการถอดรหัสของรหัส 101101 จะเป็นไปดังรูปที่ 2

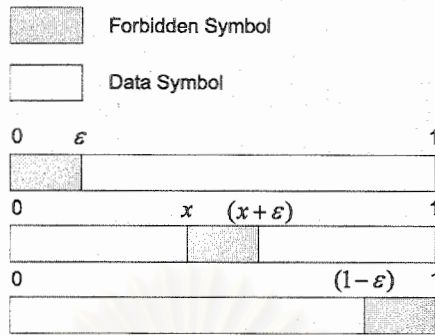


รูปที่ 2 การถอดรหัสของรหัส 101101

การที่บิตข้อมูลแรกที่ได้รับเปลี่ยนจาก 0 เป็น 1 ส่งผลให้ข้อมูลที่ถอดรหัสจากรหัสชุดนี้ผิดพลาดทั้งหมดถึงแม้ว่าข้อมูลที่เหลือจะถูกต้องทั้งหมดก็ไม่สามารถที่จะทำการถอดรหัสข้อมูลที่ถูกต้องได้ เช่นเดียวกันหากมีตารางความน่าจะเป็นที่ใช้ในการถอดรหัสครั้งใดไม่ตรงกับตารางความน่าจะเป็นที่ใช้ในการเข้ารหัสเพียงครั้งเดียวก็จะส่งผลให้การถอดรหัสที่เหลือทั้งหมดไม่ถูกต้องไปด้วย

จากคุณสมบัติการแพร่กระจายของความผิดพลาดของการเข้ารหัสเชิงเลขคณิตที่ได้กล่าวมาแล้วนี้เองที่ทำให้สามารถที่จะใช้คุณสมบัติดังกล่าวในการตรวจจับความผิดพลาดที่เกิดขึ้นในข้อมูลที่รับได้ โดยการใส่สัญลักษณ์ต้องห้ามลงไปหรือที่เรียกว่า การตรวจจับความผิดพลาดแบบต่อเนื่อง (Continuous Error Detection: CED) [1], [2] โดยมีข้อกำหนดว่าในข้อมูลที่จะทำการเข้ารหัสนั้นจะไม่มีสัญลักษณ์ต้องห้ามอยู่ ทำให้สามารถบอกได้อย่างแน่นอนว่าหากมีการถอดรหัสได้สัญลักษณ์ต้องห้ามที่ฝั่งตัวถอดรหัสหมายความว่ามีการรับข้อมูลที่ผิดพลาดเกิดขึ้นแล้ว

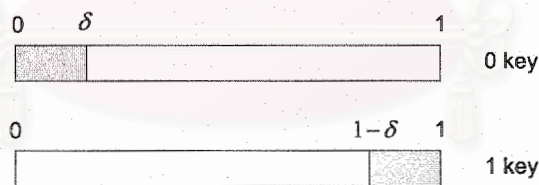
ตำแหน่งที่ใช้ในการวางสัญลักษณ์ต้องห้ามก็มีส่วนในการเข้ารหัสและถอดรหัส ดังที่ได้กล่าวไปแล้วว่าหากไม่สามารถที่จะสร้างตารางความน่าจะเป็นที่ใช้ในการเข้ารหัสและถอดรหัสที่ตรงกันได้ก็จะไม่สามารถถอดรหัสข้อมูลที่ถูกต้องได้ ดังนั้นในระบบที่มีการใช้การเข้ารหัสเชิงเลขคณิตที่มีความสามารถในการตรวจจับความผิดพลาดจำเป็นที่จะต้องมีการตกลงตำแหน่งของสัญลักษณ์ต้องห้ามไว้ก่อนล่วงหน้า โดยตำแหน่งของสัญลักษณ์ต้องห้ามอาจเป็นไปตามรูปแบบใดรูปแบบหนึ่งในรูปที่ 3



รูปที่ 3 ตำแหน่งของสัญลักษณ์ต้องห้าม

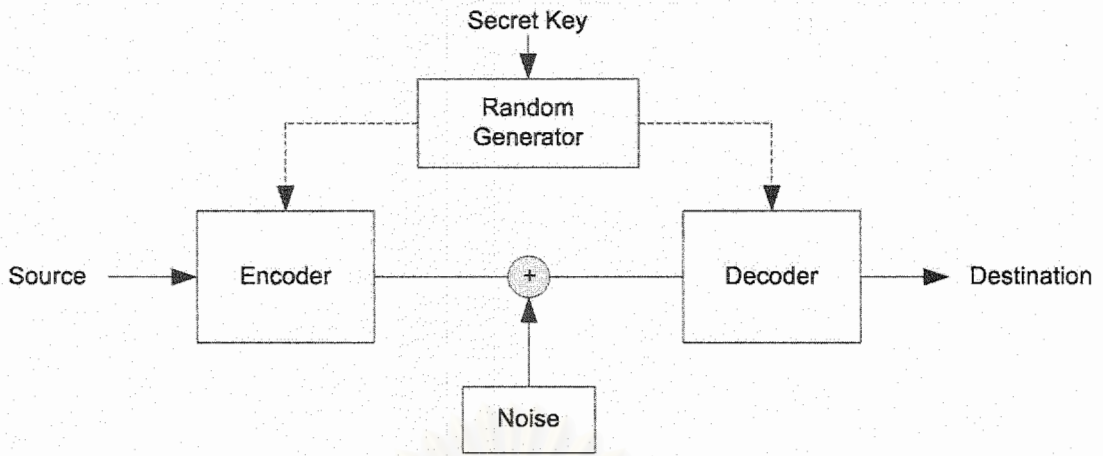
จะเห็นได้ว่าการวางสัญลักษณ์ต้องห้ามไว้ตรงกลางของตารางความน่าจะเป็นจะทำให้มีการคำนวณมากกว่าการวางสัญลักษณ์ต้องห้ามไว้ที่ปลายของตารางเนื่องจากมีการคำนวณเพียงฝั่งเดียว หากวางสัญลักษณ์ต้องห้ามไว้ตรงกลางของตารางความน่าจะเป็นจะต้องมีการคำนวณ 2 ฝั่งในกรณีที่เป็น การเข้ารหัสที่มีการใช้แบบจำลองแบบปรับได้ดังนั้นจึงควรเลือกใช้ตำแหน่งที่อยู่ในส่วนปลายของตาราง

ในระบบที่มีการใช้การเข้ารหัสเชิงเลขคณิตที่มีความสามารถในการตรวจจับความผิดพลาดนั้นสามารถที่จะเพิ่มความสามารถในการเข้ารหัสลับได้โดยวิธีการดังต่อไปนี้ กำหนดให้ตำแหน่งของสัญลักษณ์ต้องห้ามมีการเปลี่ยนแปลงตำแหน่งทุกครั้งที่มีการเข้ารหัสสัญลักษณ์แต่ละสัญลักษณ์ โดยอาจกำหนดให้มีตำแหน่งของสัญลักษณ์สำหรับกุญแจแต่ละแบบดังรูปที่ 4



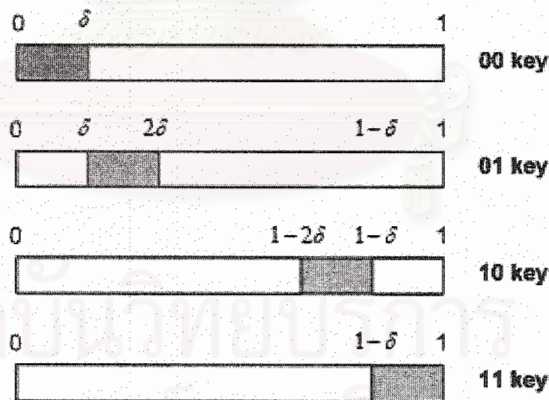
รูปที่ 4 ตำแหน่งของสัญลักษณ์ต้องห้ามและกุญแจ

การทำการเข้ารหัสลับในรูปแบบนี้จำเป็นต้องมีกุญแจที่มีจำนวนเท่ากับจำนวนของสัญลักษณ์ที่จะทำการเข้ารหัสโดยอาจสามารถสร้างได้โดยใช้ตัวกำเนิดสัญญาณไบนารีแบบสุ่ม โดยใช้กุญแจลับ (Secret key) เป็นเมล็ด (Seed) ของกุญแจไบนารีที่มีความยาวเท่ากับสัญลักษณ์ที่จะทำการเข้ารหัส ทำให้สามารถเขียนระบบทั้งหมดที่ใช้ในการเข้ารหัสเชิงเลขคณิตที่มีความสามารถในการตรวจจับความผิดพลาดและเข้ารหัสลับได้ดังรูปที่ 5



รูปที่ 5 ระบบเข้ารหัสเชิงเลขคณิตที่มีความสามารถในการตรวจจับความผิดพลาดและเข้ารหัสลับ

การเข้ารหัสในลักษณะดังกล่าวนี้สามารถทำการขยายรูปแบบการใส่กุญแจได้โดยการเพิ่มตำแหน่งของกุญแจที่จะทำการใส่เพิ่มลงในข้อมูล โดยการเพิ่มจำนวนของตำแหน่งที่เป็นที่อยู่ของกุญแจนั้น จะไม่ส่งผลกับขนาดของข้อมูลที่ผ่านมาการเข้ารหัสแล้วเมื่อเทียบกับการเข้ารหัสเชิงเลขคณิตที่มีความสามารถในการตรวจจับความผิดพลาดและเข้ารหัสลับแบบที่มีตำแหน่งที่เป็นไปได้ของกุญแจน้อยกว่า จะเห็นได้ว่า สิ่งที่ต้องการมากขึ้นในการเข้ารหัสเชิงเลขคณิตที่มีความสามารถในการตรวจจับความผิดพลาดและเข้ารหัสลับที่มีตำแหน่งของกุญแจที่เป็นไปได้มากขึ้น นั้นจะมีความต้องการทรัพยากรมากขึ้นเพียงแต่ความสามารถในการคำนวณเท่านั้นจะไม่ส่งผลกระทบต่อขนาดของข้อมูลที่ผ่านมาการเข้ารหัสแล้ว ตัวอย่างของตำแหน่งที่เป็นไปได้ของกุญแจที่มากขึ้นนั้นแสดงไว้ในรูปที่ 6



รูปที่ 6 ตัวอย่างตำแหน่งที่เป็นไปได้ของกุญแจ 4 ตำแหน่ง

#### การทดลองความสามารถในการบีบอัดข้อมูล

ทำโดยการเข้ารหัสข้อมูล book1 และ paper1 จาก ชุดทดสอบ Calgary Corpus โดยได้ผลการบีบอัดข้อมูลในรูปของบิตต่อไบต์ ดังต่อไปนี้



ตารางที่ 1 ผลการบีบอัดข้อมูล

แฟ้ม	SEEDAC 2	SEEDAC 4	SEEDAC 8
book1	4.612005	4.611996	4.61147
paper1	5.014654	5.014665	5.04671

จากตารางที่ 1 จะเห็นได้ว่าการเข้ารหัสเชิงเลขคณิตที่มีความสามารถในการตรวจจับความผิดพลาดและเข้ารหัสลับที่มีจำนวนตำแหน่งของกุญแจที่เป็นไปได้ต่างๆ กันนั้นให้ผลการบีบอัดข้อมูลที่ไม่แตกต่างกัน

การเพิ่มจำนวนของตำแหน่งที่เป็นไปได้ของกุญแจนั้นจะส่งผลให้การเข้ารหัสลับของแต่ละสัญลักษณ์ที่ทำการเข้ารหัสนั้นจำเป็นจะต้องใช้เวลาในการค้นหาตำแหน่งที่ถูกต้องนานยิ่งขึ้นทำให้ข้อมูลที่เป็นความลับที่ถูกกลีบออกมาออกป็นนั้นต้องใช้เวลาในการถอดรหัสลับให้ได้ข้อความที่ถูกต้องนั้นนานยิ่งขึ้นเนื่องจากต้องทำการตรวจสอบหาตำแหน่งให้ครบทุกตำแหน่งในขณะที่ผู้รู้ตำแหน่งของกุญแจนั้นจะไม่ได้ใช้เวลามากขึ้นในการถอดรหัสลับของข้อมูล อีกทั้งความสามารถในการตรวจจับความผิดพลาดของการเข้ารหัสเชิงเลขคณิตที่มีความสามารถในการตรวจจับความผิดพลาดและเข้ารหัสลับก็ได้สูญเสียไป การเพิ่มตำแหน่งของกุญแจในลักษณะนี้สามารถทำได้มากเท่ากับ  $2^n$  ตำแหน่ง เมื่อ  $n$  เป็นจำนวนบิตที่ใช้ในการจัดเก็บค่าของขอบบนและขอบล่างในการเข้ารหัสเชิงเลขคณิต

#### เอกสารอ้างอิง

- [1] C. Boyd, J.G. Cleary, S.A. Irvine, I. Rinsma-Melchert and I.H. Witten, "Integrating Error Detection into Arithmetic Coding", IEEE Trans. On Comm., vol.45, no.1, pp.1-3, Jan 1997.
- [2] R. Anand, K. Ramchandran and I. V. Kozintsev. Continuous error detection (CED) for reliable communication. IEEE Trans. Commun., 49(9):1540-1549, September 2001.